

06.3; 07

© 1991

КОЛЛИНЕАРНОЕ ВЗАИМОДЕЙСТВИЕ СВЕТА  
С МАГНИТОСТАТИЧЕСКОЙ ВОЛНОЙ В ПЛЕНКЕ  
ФЕРРИТА В ПОПЕРЕЧНО-НЕОДНОРОДНОМ  
МАГНИТНОМ ПОЛЕ

А.А. К л и м о в, В.Л. П р е о б р а ж е н с к и й,  
Ю.К. Ф е т и с о в

Взаимодействие света с магнитостатическими волнами (МСВ) в планарных магнитных волноводах [1] интенсивно исследуется в настоящее время в связи с перспективой создания интегральных магнитооптических устройств обработки СВЧ сигналов. Продемонстрировано применение коллинеарного взаимодействия в устройствах последовательного [2], а неколлинеарного – параллельного [3] спектрального анализа сигналов, аналогичных акустооптическим устройствам низкочастотного диапазона.

Специфической особенностью МСВ является возможность управления их характеристиками с помощью внешнего намагничивающего поля. Использование неоднородных полей позволяет реализовать существенно неоднородные амплитудно-фазовые распределения поля МСВ и практически моделировать интегрально-оптические среды с заданными дифракционными свойствами. Так с помощью неоднородного магнитного поля удалось повысить эффективность коллинеарного взаимодействия [4] и реализовать брэгговский режим дифракции света на МСВ [5].

В настоящей работе впервые исследовано коллинеарное взаимодействие света с поверхностными волнами (ПМСВ) в пленке феррита в условиях поперечно-неоднородного внешнего намагничивающего поля и продемонстрирована возможность использования такого взаимодействия для параллельного спектрального анализа СВЧ сигналов.

Геометрия рассматриваемой задачи показана на рис. 1. Пленка феррита толщиной  $\alpha$  и шириной  $\omega$  на немагнитной подложке расположена в плоскости  $\hat{y} - \hat{z}$ . Внешнее постоянное намагничивающее поле напряженностью  $H(y, z)$  направлено по касательной к плоскости пленки вдоль  $\hat{z}$ . ПМСВ возбуждаются электромагнитным монохроматическим сигналом с частотой  $f$ , поданным на линейный микрополосковый преобразователь, расположенный на поверхности пленки в сечении  $y=0$ . Пучок света с широкой апертурой падает слева на структуру и возбуждает в пленке одну из волноводных оптических мод с ТМ поляризацией.

Когда намагничивающее поле однородно, распространяющаяся ПМСВ вызывает преобразование  $\text{TM} \rightarrow \text{TE}$  оптических мод по всей

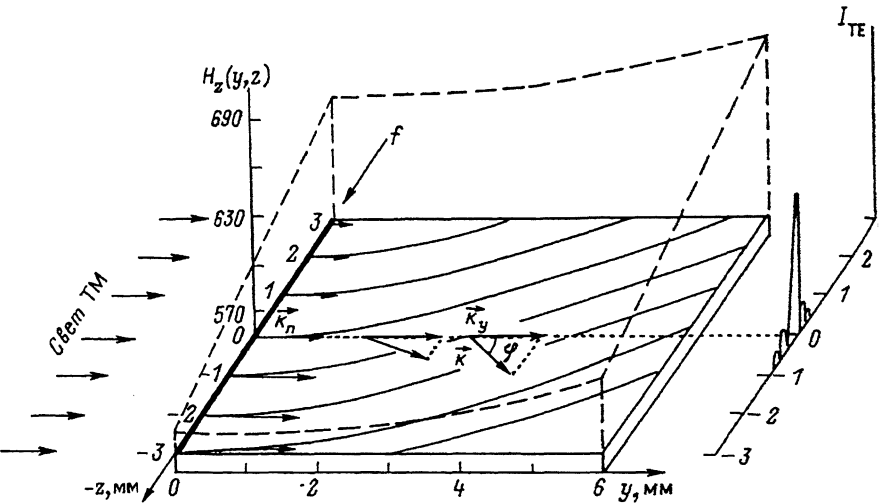


Рис. 1. Геометрия взаимодействия света с ПМСВ в пленке феррита.

ширина пленки при выполнении условий фазового синхронизма  $\vec{\beta}_{TE_n} = \vec{\beta}_{TM_n} + \vec{k}_n(\rho, H)$ , где  $\vec{\beta}_{TM_n}$ ,  $\vec{\beta}_{TE_n}$  – волновые векторы входной  $TM_n$  и выходной  $TE_n$  оптических мод с номером  $n$ ;  $\vec{k}(f, H)$  – волновой вектор ПМСВ.

Если магнитное поле слабо неоднородно в поперечном направлении  $H(y, z) = H_0 + \alpha \cdot z$ ,  $\alpha \cdot w \ll H_0$ , то в пленке возбуждается пучок ПМСВ с частотой  $f$  и различными волновыми векторами. В каждой точке вблизи преобразователя волновой вектор ПМСВ имеет модуль  $k(f, H[0, z])$ , величина которого определяется законом дисперсии и локальным значением напряженности поля и направлен по нормали к преобразователю. Дальнейшее распространение такого пучка ПМСВ в пленке хорошо описывается методами геометрической оптики неоднородных сред [18].

На рис. 1 сплошными линиями изображены рассчитанные траектории лучей ПМСВ, задающие направление переноса энергии волнами в поперечно-неоднородном магнитном поле. При удалении от преобразователя лучи ПМСВ отклоняются в сторону области пленки с большей напряженностью поля, увеличивается модуль  $k$  волнового вектора и угол  $\varphi$  его отклонения от оси  $y$ . При этом на каждом луче величина проекции  $k_y$  вследствие однородности среды вдоль оси  $y$  сохраняется и остается равной ее начальному значению  $k(0, z)$  вблизи преобразователя.

Из рис. 1 видно, что в этом случае преобразование оптических мод будет происходить в широкой области пленки феррита  $z \geq 0$ , где лучи света пересекают луч ПМСВ с проекцией  $k_y = k_n$ , удовлетворяющей условию фазового синхронизма. Однако из-за малой длины взаимодействия света с этим лучом эффективность преобразования будет мала.

Сузить ширину участка пленки, где происходит преобразование оптических мод и повысить эффективность взаимодействия можно, введя, кроме поперечной неоднородности поля, также продольную неоднородность, обеспечивающую выполнение условия  $k_y = k_n$  для всех лучей ПМСВ в момент пересечения ими оптического луча с координатой  $z=0$ .

В слабо неоднородном магнитном поле, когда выполняются условия  $k d \ll 1$  и  $\varphi \ll 1$ , требуемое распределение поля дается выражением [6]

$$H(y, z) = H(0, z) + \frac{H(0, z) + 2\pi M}{(4\pi M)^2 \cdot k_n \cdot d} \cdot \left( \frac{\partial H(0, z)}{\partial z} \right)^2 \cdot y^2, \quad (1)$$

где  $4\pi M$  – намагниченность насыщения феррита.

В магнитном поле с поперечной неоднородностью  $\partial H / \partial z \sim \sim 10^2$  Э/см угол  $\varphi \sim 30 \dots 50$  град и требуемое распределение поля находится путем численного интегрирования лучевых уравнений с учетом заданной неоднородности поля в месте расположения преобразователя. На рис. 1 штриховыми линиями показано рассчитанное распределение намагничивающего поля  $H(y, z)$  при  $H(0, z) = 600 + 100 \cdot z$ , обеспечивающее по всей длине каждого оптического луча с координатой  $z$  равенство проекции  $k(y, z)$  ее начальному значению  $k(0, z)$ . Полученное распределение неизначительно отличается от данного формулой (1), причем установлено, что продольная неоднородность поля слабо влияет на форму траекторий лучей ПМСВ.

В неоднородном магнитном поле такого вида взаимодействие света и ПМСВ с частотой  $f$  будет происходить только в узкой области пленки вблизи оптического луча с  $z=0$ . Оценки дают ширину области преобразования, определенную по величине интервала  $\Delta k$  между двумя ближайшими нулями функции преобразования,  $\Delta z \approx 0.01$  см, что соответствует частотному разрешению  $\Delta f \approx \approx 3$  МГц. Если изменить частоту ПМСВ, то преобразование оптических мод будет происходить в другой области пленки, где выполнится условие фазового синхронизма  $k_y = k_n$ .

Таким образом, с помощью неоднородного намагничивающего поля можно осуществить пространственное разделение областей преобразования оптических волноводных мод под действием ПМСВ с различными частотами, что может быть использовано для параллельного спектрального анализа СВЧ радиосигналов.

Экспериментальную проверку особенностей взаимодействия света с ПМСВ в условиях поперечно-неоднородного магнитного поля проводили на пленке ЖИГ толщиной 3.8 мкм и размерами  $8 \times 20$  мм<sup>2</sup>. Ввод и вывод оптического излучения с длиной волны 1.15 мкм осуществляли с помощью двух призм из  $GaP$  с цилиндрическими контактными поверхностями шириной 6 мм, расположенными на расстоянии 10 мм друг от друга. В пленке возбуждали  $TM_2$  моду и регистрировали  $TE_2$  оптическую моду. Для возбуждения ПМСВ в диапазоне частот 3.3–3.6 ГГц использовали микрополосковый пре-

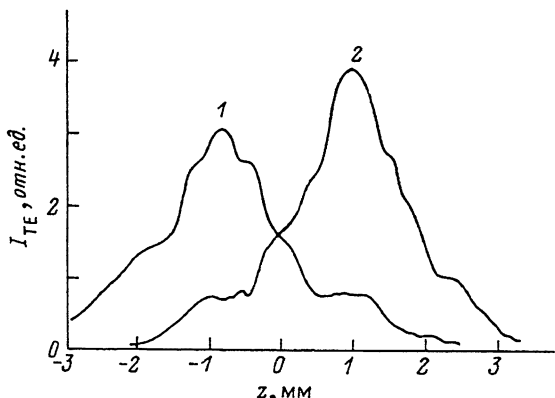


Рис. 2. Распределение интенсивности  $I$  излучения  $TE_2$  моды по ширине пленки для двух частот ПМСВ: 1 –  $f_1$ , 2 –  $f_2$ .

образователь длиной 8 мм, нанесенный на поверхность пленки вблизи входной призмы. Постоянное намагничивающее поле, пространственное распределение напряженности которого приблизительно соответствовало расчетному, создавали с помощью постоянных магнитов, расположенных вблизи поверхности пленки феррита.

На рис. 2 показано измеренное распределение интенсивности оптического сигнала выходной  $TE_2$  моды по ширине пленки феррита для двух частот ПМСВ  $f_1=3.40$  ГГц и  $f_2=3.45$  ГГц. Видно, что преобразование оптических мод при различных частотах ПМСВ действительно происходит в различных областях пленки. Полученное разрешение сигналов по частоте составляло около  $\sim 40$  МГц, что обусловлено, скорее всего, отличием реального распределения неоднородного магнитного поля от оптимального расчетного.

Приведенные результаты демонстрируют возможности управления взаимодействием света с МСВ в пленках феррита с помощью неоднородных магнитных полей и перспективность использования такого взаимодействия для параллельного спектрального анализа СВЧ сигналов.

Авторы благодарят П.С. Костюка за предоставление пленок ЖИГ.

#### Список литературы

- [1] Fisher A.D., Lee J.N., Gaunder E.S., Tveten A.B. // Appl. Phys. Lett. 1982. V. 41. N 9. P. 779-781.
- [2] Климов А.А., Преображенский В.Л., Фетисов Ю.К. Тез. докл. Шсем. по функциональной магнитоэлектронике. Красноярск, 1988. С. 252-253.
- [3] Tsai C.S., Young D. // Appl. Phys. Lett. 1989. V. 54. N 3. P. 196-198.

- [4] Клинов А.А., Преображенский В.Л., Фетисов Ю.К. // Письма в ЖТФ. 1990. Т. 16. В. 17. С. 18-22.
- [5] Галкин О.Л., Клинов А.А., Преображенский В.Л., Фетисов Ю.К., Костюк П.С. // Письма в ЖТФ. 1989. Т. 15. В. 22. С. 79-82.
- [6] Ващковский А.В., Зубков В.И., Локк Э.Г., Щеглов В.И. // Письма в ЖТФ. 1989. Т. 15. В. 4. С. 5-8.
- [7] Галкин О.Л., Клинов А.А. Тез. докл. П Всес. школы „Взаимодействие электромагнитных волн с полупроводниковыми и полупроводниково-диэлектрическими структурами“. Саратов, 1988. С. 17-18.

Поступило в Редакцию  
13 декабря 1990 г.

Письма в ЖТФ, том 17, вып. 7

12 апреля 1991 г.

06.3; 12

© 1991

## ЭФФЕКТ ДИФФУЗИОННОЙ РЕЛАКСАЦИИ ПРИ ЖИДКОСТНОЙ ЭПИТАКСИИ $Ga_xAl_{1-x}As$

В.Н. Бессолов, М.В. Лебедев

1. При эпитаксиальном росте твердых растворов состав растущего слоя должен зависеть как от состава жидкой или газовой фазы и температуры эпитаксии, так и от скорости роста этого слоя.

В условиях очень малых скоростей роста должен наблюдаться эффект диффузационной релаксации [1].

Рассмотрим этот эффект на примере жидкостной эпитаксии  $Ga_{1-x}Al_xAs$ . Как известно [1, 2], концентрация  $AlAs$ , захваченного ступенью при росте слоя ( $X_{st}$ ), существенно ниже, чем равновесная концентрация  $AlAs$  для объема ( $X_B$ ) при данном составе жидкой фазы. При эпитаксиальном росте слоя происходит превращение поверхностного слоя, отложенного ступенью, в объемный после прохождения по нему следующей ступени. При этом содержание  $AlAs$  в слое ( $X$ ) может увеличиваться по сравнению с захваченным ступенью за счет диффузий  $Al$  из жидкой фазы через поверхностный слой в твердую фазу в зависимости от скорости роста слоя.

Если скорость роста слоя существенно больше скорости диффузии  $Al$  в твердой фазе, то содержание  $AlAs$  в слое ( $X$ ) будет равно содержанию  $AlAs$ , захваченного ступенью ( $X_{st}$ ) (рис. 1, а).